

Starkniederschlagshöhen und -spenden gemäß KOSTRA-DWD-2010R

Auswertungszeitraum von 1951 - 2010, Januar - Dezember

Rasterfeld: 9059

Zeile: 9

Spalte: 59

Seite: 1/2

| Dauerstufe D | Wiederkehrzeit T | | | | | | | | | | | | | | | | | | |
|--------------|------------------|------|------------|------|------------|------|------------|------|------------|------|------------|------|------------|------|------------|------|------------|-------|------------|
| | 1 a | | 2 a | | 3 a | | 5 a | | 10 a | | 20 a | | 30 a | | 50 a | | 100 a | | |
| min | Std | mm | l / (s ha) | mm | l / (s ha) | mm | l / (s ha) | mm | l / (s ha) | mm | l / (s ha) | mm | l / (s ha) | mm | l / (s ha) | mm | l / (s ha) | mm | l / (s ha) |
| 5 | | 4,3 | 143,3 | 5,3 | 176,7 | 5,9 | 196,7 | 6,7 | 223,3 | 7,8 | 260,0 | 8,9 | 296,7 | 9,5 | 316,7 | 10,3 | 343,3 | 11,4 | 380,0 |
| 10 | | 6,9 | 115,0 | 8,5 | 141,7 | 9,5 | 158,3 | 10,7 | 178,3 | 12,3 | 205,0 | 13,9 | 231,7 | 14,8 | 246,7 | 16,0 | 266,7 | 17,6 | 293,3 |
| 15 | | 8,7 | 96,7 | 10,8 | 120,0 | 12,0 | 133,3 | 13,5 | 150,0 | 15,5 | 172,2 | 17,6 | 195,6 | 18,8 | 208,9 | 20,3 | 225,6 | 22,4 | 248,9 |
| 20 | | 10,0 | 83,3 | 12,5 | 104,2 | 13,9 | 115,8 | 15,7 | 130,8 | 18,1 | 150,8 | 20,6 | 171,7 | 22,0 | 183,3 | 23,8 | 198,3 | 26,3 | 219,2 |
| 30 | | 11,8 | 65,6 | 14,9 | 82,8 | 16,7 | 92,8 | 19,0 | 105,6 | 22,1 | 122,8 | 25,3 | 140,6 | 27,1 | 150,6 | 29,4 | 163,3 | 32,5 | 180,6 |
| 45 | | 13,3 | 49,3 | 17,3 | 64,1 | 19,7 | 73,0 | 22,6 | 83,7 | 26,6 | 98,5 | 30,5 | 113,0 | 32,9 | 121,9 | 35,8 | 132,6 | 39,8 | 147,4 |
| 60 | | 14,3 | 39,7 | 19,0 | 52,8 | 21,8 | 60,6 | 25,3 | 70,3 | 30,0 | 83,3 | 34,7 | 96,4 | 37,5 | 104,2 | 41,0 | 113,9 | 45,7 | 126,9 |
| 90 | | 15,7 | 29,1 | 20,7 | 38,3 | 23,7 | 43,9 | 27,4 | 50,7 | 32,5 | 60,2 | 37,5 | 69,4 | 40,5 | 75,0 | 44,2 | 81,9 | 49,3 | 91,3 |
| 120 | 2 | 16,7 | 23,2 | 22,0 | 30,6 | 25,1 | 34,9 | 29,0 | 40,3 | 34,3 | 47,6 | 39,7 | 55,1 | 42,8 | 59,4 | 46,7 | 64,9 | 52,0 | 72,2 |
| 180 | 3 | 18,3 | 16,9 | 24,0 | 22,2 | 27,3 | 25,3 | 31,5 | 29,2 | 37,2 | 34,4 | 42,9 | 39,7 | 46,2 | 42,8 | 50,4 | 46,7 | 56,1 | 51,9 |
| 240 | 4 | 19,6 | 13,6 | 25,5 | 17,7 | 29,0 | 20,1 | 33,4 | 23,2 | 39,3 | 27,3 | 45,3 | 31,5 | 48,8 | 33,9 | 53,2 | 36,9 | 59,1 | 41,0 |
| 360 | 6 | 21,4 | 9,9 | 27,8 | 12,9 | 31,5 | 14,6 | 36,2 | 16,8 | 42,6 | 19,7 | 49,0 | 22,7 | 52,7 | 24,4 | 57,4 | 26,6 | 63,8 | 29,5 |
| 540 | 9 | 23,5 | 7,3 | 30,3 | 9,4 | 34,3 | 10,6 | 39,3 | 12,1 | 46,1 | 14,2 | 53,0 | 16,4 | 57,0 | 17,6 | 62,0 | 19,1 | 68,8 | 21,2 |
| 720 | 12 | 25,1 | 5,8 | 32,2 | 7,5 | 36,4 | 8,4 | 41,7 | 9,7 | 48,8 | 11,3 | 56,0 | 13,0 | 60,2 | 13,9 | 65,5 | 15,2 | 72,6 | 16,8 |
| 1080 | 18 | 27,5 | 4,2 | 35,1 | 5,4 | 39,6 | 6,1 | 45,2 | 7,0 | 52,9 | 8,2 | 60,6 | 9,4 | 65,0 | 10,0 | 70,7 | 10,9 | 78,4 | 12,1 |
| 1440 | 24 | 29,3 | 3,4 | 37,3 | 4,3 | 42,0 | 4,9 | 48,0 | 5,6 | 56,0 | 6,5 | 64,0 | 7,4 | 68,7 | 8,0 | 74,7 | 8,6 | 82,7 | 9,6 |
| 2880 | 48 | 35,2 | 2,0 | 44,0 | 2,5 | 49,2 | 2,8 | 55,7 | 3,2 | 64,5 | 3,7 | 73,4 | 4,2 | 78,6 | 4,5 | 85,1 | 4,9 | 93,9 | 5,4 |
| 4320 | 72 | 39,1 | 1,5 | 48,4 | 1,9 | 53,9 | 2,1 | 60,7 | 2,3 | 70,0 | 2,7 | 79,4 | 3,1 | 84,8 | 3,3 | 91,7 | 3,5 | 101,0 | 3,9 |

Angaben in mm: Bemessungsniederschlagswerte h(n)

Angaben in l / (s ha): Regenspende R(n) mit $R(n) = h(n) \times 1,666667 / D[\text{min}]$

Toleranzbereiche:

+/- 10 % für $1 a \leq T \leq 5 a$

+/- 15 % für $5 a < T \leq 50 a$

+/- 20 % für $50 a < T \leq 100 a$

Datenbasis: KOSTRA-DWD-2010R des Deutschen Wetterdienstes. Die Regenspende wurde auf Basis des Bemessungsniederschlags zur jeweiligen Andauer berechnet.

Für die Richtigkeit und Aktualität der Angaben wird keine Gewähr übernommen. Erstellt 07/2022.

Starkniederschlagshöhen und -spenden gemäß KOSTRA-DWD-2010R

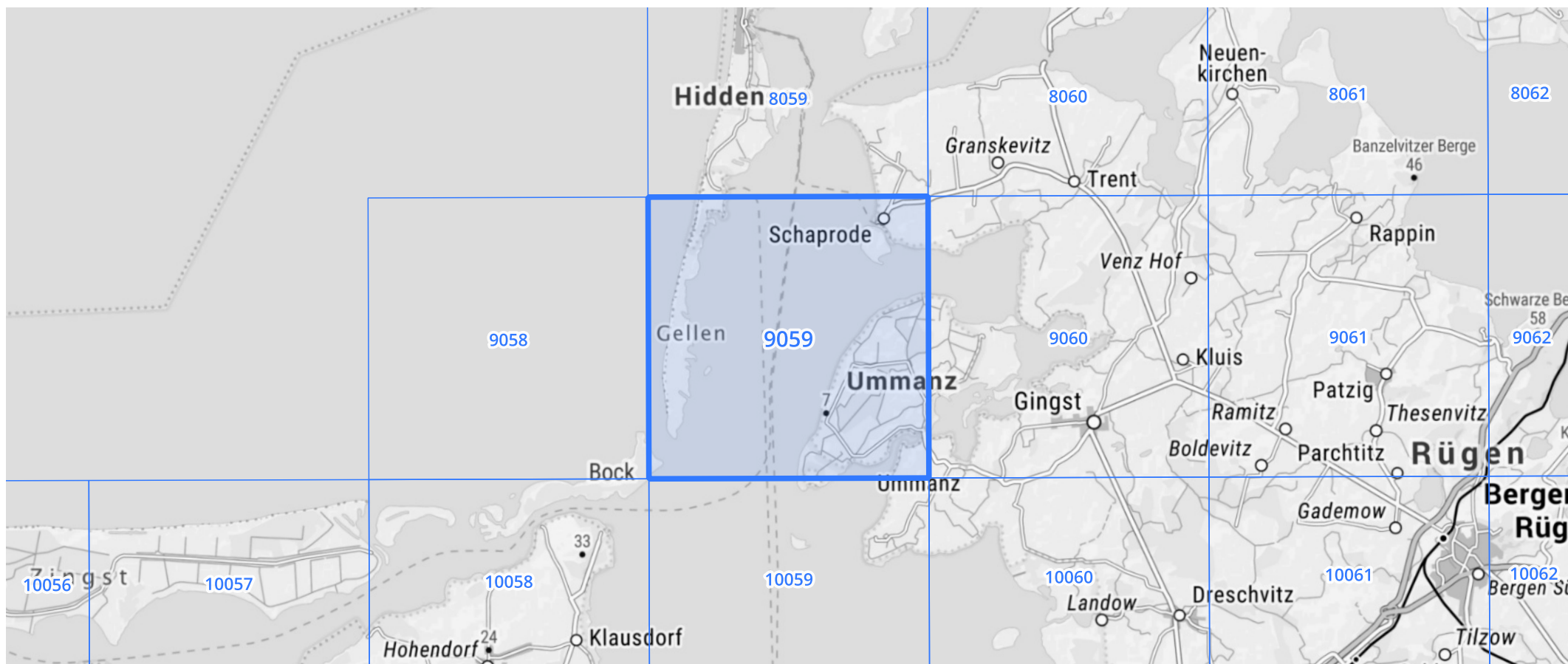
Auswertungszeitraum von 1951 - 2010, Januar - Dezember

Rasterfeld: 9059

Zeile: 9

Spalte: 59

Seite: 2/2



Quelle Rasterdaten: KOSTRA-DWD-2010R des Deutschen Wetterdienstes.

Kartendarstellung: © Bundesamt für Kartographie und Geodäsie (2022), Datenquellen: https://sgx.geodatenzentrum.de/web_public/gdz/datenquellen/Datenquellen_TopPlusOpen.html

Für die Richtigkeit und Aktualität der Angaben wird keine Gewähr übernommen. Erstellt 07/2022.